

ВЛИЯНИЕ СИЛЬНОГО МАГНИТНОГО ПОЛЯ НА МАГНИТНЫЙ ПОРЯДОК В ПОЛИКРИСТАЛЛАХ СЛОИСТЫХ КОБАЛЬТИТОВ $\text{EuBaCo}_{2-x}\text{O}_{5.5-\delta}$

Т. И. Арбузова, С. В. Наумов*, С. В. Телегин

Федеральное государственное бюджетное учреждение науки
Институт физики металлов им. М. Н. Михеева Уральского отделения Российской академии наук
620108, Екатеринбург, Россия

Поступила в редакцию 19 июня 2018 г.,
после переработки 18 сентября 2018 г.
Принята к публикации 19 сентября 2018 г.

Исследованы магнитные свойства поликристаллов $\text{EuBaCo}_{2-x}\text{O}_{5.5-\delta}$ ($x \leq 0.1$, $\delta \leq 0.14$) в температурной области $2 \text{ K} < T < 300 \text{ K}$ в магнитных полях $H \leq 90 \text{ кЭ}$. Проведено сравнение зависимостей намагниченности M от температуры T и магнитного поля H для поликристаллов и монокристалла $\text{EuBaCo}_{1.90}\text{O}_{5.36}$, в которых присутствуют только трехвалентные ионы кобальта. Показано, что в магнитоупорядоченной температурной области образцы являются ферримагнетиками, в которых антиферромагнитные взаимодействия между ближайшими ионами Co^{3+} с одинаковыми спинами конкурируют с ферромагнитным обменом. При понижении температуры сильное магнитное поле влияет на магнитный порядок. При $T = 2 \text{ K}$ в полях $H = 50\text{--}90 \text{ кЭ}$ все образцы проявляют свойства миктомагнетизма. Наблюдаются сдвиг петель гистерезиса $M(H)$ и большое различие значений намагниченности образца, охлажденного в магнитном поле, $M(\text{FC})$, и без поля, $M(\text{ZFC})$, из-за односторонней магнитной анизотропии. При этом отсутствует насыщение намагниченности. Полевые зависимости намагниченности, снятые в режиме CHUF (cooling and heating in unequal fields), указывают на метастабильное магнитное состояние. Вблизи $T = 20\text{--}30 \text{ K}$ происходит характерный для миктомагнетиков ориентационный переход и устанавливается сложная ферримагнитная структура. Основными причинами проявления свойств миктомагнетизма в слоистых кобальтитах являются наличие магнитоактивных ионов Co^{3+} в состояниях с промежуточным и высоким спинами при низких температурах и структурные дефекты, которые влияют на обменное взаимодействие между ближайшими соседями. В качестве дефектов могут выступать также немагнитные ионы Co^{3+} в низкоспиновом состоянии.

DOI: 10.1134/S004445101903012X

1. ВВЕДЕНИЕ

Кобальтиты $\text{LnBaCo}_2\text{O}_{5.5\pm\delta}$ (Ln — редкоземельные (РЗ) ионы, $\delta = 0.5$) имеют слоистую кристаллическую структуру, обладают рядом интересных физических свойств и являются перспективным материалом для практического применения. Большое внимание в литературе уделялось изучению магнитных свойств слоистых кобальтитов с разным содержанием ионов кислорода. В составе $\text{LnBaCo}_2\text{O}_{5.5}$ все ионы кобальта находятся в трехвалентном состоянии. Магнитный момент ионов Co^{3+} зависит от температуры и параметров элементарной ячейки [1–4]. При повышении температуры и уменьшении объе-

ма элементарной ячейки спиновое состояние ионов Co^{3+} изменяется от низкоспинового (low spin, LS, $S = 0$) до промежуточного (intermediate spin, IS, $S = 1$) и хундовского высокоспинового состояния (high spin, HS, $S = 2$) [3]. Такие переходы могут влиять на магнитный порядок в $\text{LnBaCo}_2\text{O}_{5.5\pm\delta}$. Кроме ионов кобальта магнитным моментом могут обладать РЗ-ионы, что необходимо учитывать при изучении магнитных свойств двойных кобальтитов. При отклонениях концентрации кислорода от 5.5 часть ионов Co имеет валентность Co^{2+} или Co^{4+} . Для ионов Co^{4+} характерно только спиновое состояние Хунда $S = 5/2$ ($t_{2g}^3 e_g^2$). Ионы Co^{2+} могут находиться как в хундовском состоянии $S = 3/2$ ($t_{2g}^3 e_g^0$), так и в промежуточном состоянии $S = 1/2$ ($t_{2g}^2 e_g^1$). В $\text{LnBaCo}_2\text{O}_{5.5\pm\delta}$ ионы Co^{4+} и Co^{2+} мо-

* E-mail: naumov@imp.uran.ru

гут взаимодействовать с ионами Co^{3+} , давать вклад в обменную энергию и влиять на магнитный порядок. Для ионов Co^{3+} сверхобмен между состояниями $\text{HS}-\text{O}-\text{HS}$ и $\text{IS}-\text{O}-\text{IS}$ является антиферромагнитным (АФМ), а между состояниями $\text{HS}-\text{O}-\text{HS}$ и $\text{HS}-\text{O}-\text{IS}$ — ферромагнитным (ФМ). Взаимодействия $\text{Co}^{3+}-\text{O}-\text{Co}^{2+}$ осуществляют АФМ-связь, а $\text{Co}^{3+}-\text{O}-\text{Co}^{4+}$ — ФМ-упорядочение спинов [1, 5].

В поликристаллах $\text{EuBaCo}_2\text{O}_{5.5\pm\delta}$ в области $T = 200-300$ К наблюдалось резкое увеличение намагниченности. Этот рост намагниченности в слабых магнитных полях часто объясняют вкладом ФМ-упорядоченных кластеров, внедренных в АФМ-матрицу, или склоненным АФМ-упорядочением [6–9]. Появление ФМ может быть обусловлено спиновыми переходами ионов Co^{3+} и увеличением числа ближайших пар $\text{Co}^{3+}(\text{HS})-\text{O}-\text{Co}^{3+}(\text{IS})$. Температуру Кюри T_C ФМ-кластеров находят по температуре максимума дифференциальной восприимчивости. Температуру Нееля T_N ряд авторов определяет по началу увеличения намагниченности или максимуму зависимости $M(T)$, полагая $T_N = T_C$. При отклонениях содержания кислорода от значения 5.5 максимум зависимости $M(T)$ сдвигается в сторону более низких температур [10, 11]. Причинами понижения T_C могут быть изменения валентности ионов Co, а также расстояний и углов обменных связей.

Мы исследовали парамагнитные свойства кобальтидов $\text{EuBaCo}_{2-x}\text{O}_{5.5-\delta}$ и определили спиновые состояния ионов Co^{3+} , которые влияют на характер обменных взаимодействий и магнитный порядок [12]. Данные по температурным зависимостям парамагнитной восприимчивости выше $T = 300$ К указывают на ферримагнитное упорядочение ионов кобальта, при котором АФМ- и ФМ-подрешетки взаимодействуют друг с другом [13, 14]. Отметим, что в поликристалле и монокристалле состава $\text{EuBaCo}_{1.90}\text{O}_{5.36}$ значения $T_N > T_C$. Следовательно, АФМ-взаимодействия сохраняются выше температуры ФМ-упорядочения.

Важный результат для понимания магнитного упорядочения в слоистых кобальтидах получен в работе [11]. Авторы показали, что в монокристалле $\text{GdBaCo}_2\text{O}_{5.5}$ в области температур $T = 200-300$ К в поле $H = 100$ Э наблюдаются резкое увеличение намагниченности и анизотропия $M(T)$ для различных кристаллографических направлений. Значение $M(T)$ для $\mathbf{H} \parallel \mathbf{c}$ в этой области температур существенно меньше соответствующих значений намагниченности для $\mathbf{H} \parallel \mathbf{a}$ и $\mathbf{H} \parallel \mathbf{b}$. Наблюдаемая в монокристалле $\text{GdBaCo}_2\text{O}_{5.5}$ магнитная анизотро-

пия вдоль кристаллографических осей может быть связана с тем, что спины магнитных ионов лежат в плоскости ab или близко к этому направлению. Симметрия кристаллической структуры слоистых кобальтидов не исключает возможности отклонения направлений спинов ионов Co от этой плоскости [15].

В данной работе поставлена задача изучить изменения магнитоупорядоченного состояния при понижении температуры $T < 300$ К в зависимости от величины приложенного магнитного поля $H \leq 90$ кЭ в поликристаллических образцах $\text{EuBaCo}_{2-x}\text{O}_{5.5-\delta}$ со структурными вакансиями и сравнить поведение зависимостей $M(T, H)$ с аналогичными зависимостями для монокристалла $\text{EuBaCo}_{1.90}\text{O}_{5.36}$ [16]. В отличие от поликристаллов, в монокристалле магнитное поле направлено вдоль направления [120]. При сравнении магнитных характеристик поликристаллов и монокристалла можно будет сделать определенные выводы о направлении спинового упорядочения ионов Co^{3+} относительно кристаллографических осей. Исследованные образцы содержат практически только ионы Co^{3+} . Они имеют разное число вакансий в кобальтовой и кислородной подрешетках, что позволит выявить влияние структурных дефектов на магнитный порядок в слоистых кобальтидах.

2. ОБРАЗЦЫ И МЕТОДИКИ ИЗМЕРЕНИЙ

Поликристаллические образцы $\text{EuBaCo}_{2-x}\text{O}_{5.5-\delta}$ ($\text{EuBaCo}_2\text{O}_{5.5}$, $\text{EuBaCo}_{1.92}\text{O}_{5.40}$, $\text{EuBaCo}_{1.90}\text{O}_{5.36}$) были синтезированы методом Печини [17]. Методика синтеза образцов и их структурные характеристики описаны в работе [18]. Монокристалл $\text{EuBaCo}_{1.9}\text{O}_{5.36}$ был выращен методом бестигельной зонной плавки на установке УРН-2-ЗП. Рост кристалла осуществлялся со скоростью 5 мм/ч в потоке воздуха. Методика выращивания монокристаллов $\text{EuBaCo}_{2-x}\text{O}_{6-\delta}$ и их детальные физико-химические характеристики опубликованы нами в работе [19]. Элементный анализ образцов выполнен на сканирующем электронном микроскопе Inspect F (FEI) с энергодисперсионным спектрометром EDAX. Абсолютное содержание кислорода в исследуемых образцах было определено методом прямого восстановления водородом до исходных оксидов Eu_2O_3 , BaO и металлического кобальта.

Расчеты кристаллической структуры и уточнение структурных параметров по результатам рентгенографических исследований, проведенных на рентгеновском дифрактометре ДРОН-2 ($\text{Cr}K_\alpha$), осуществлялись с использованием программного

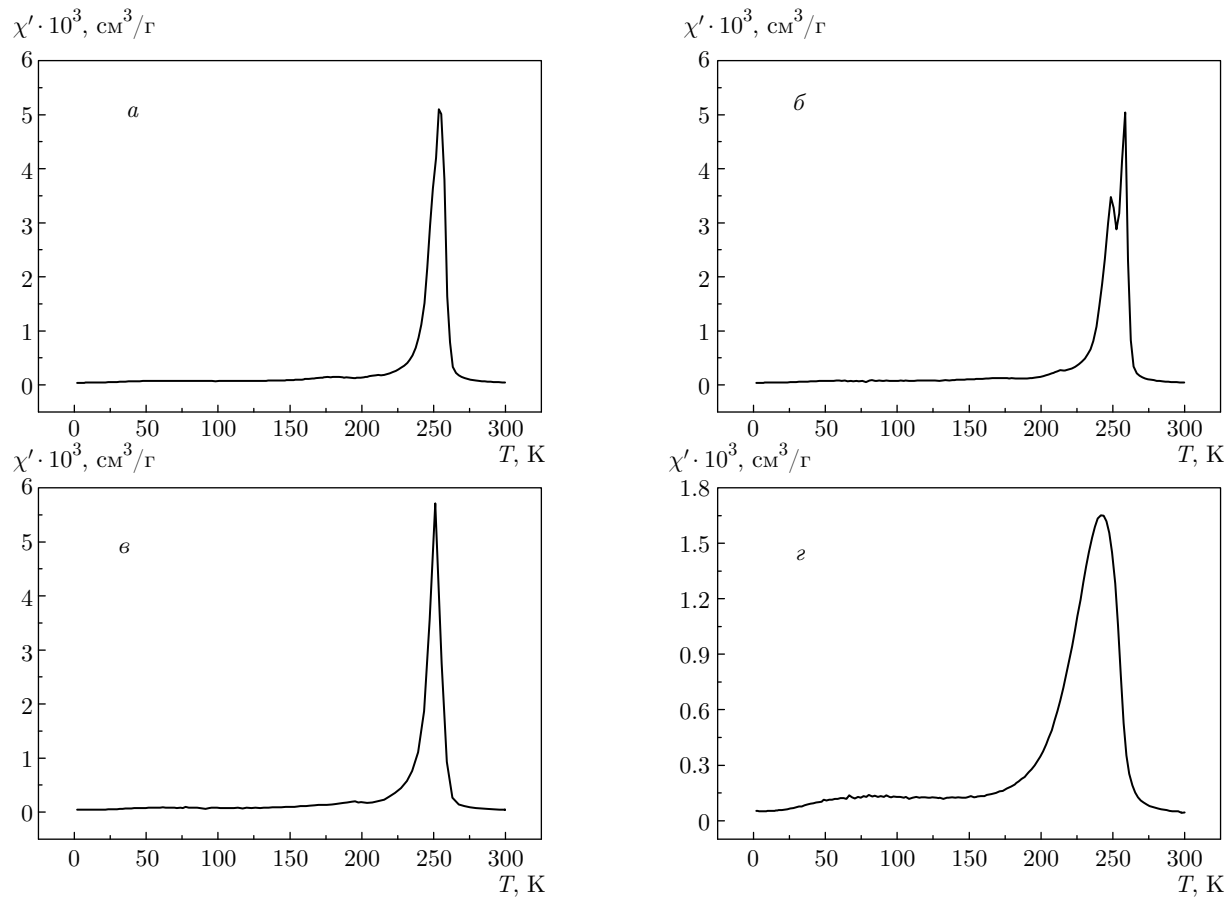


Рис. 1. Температурные зависимости магнитной восприимчивости χ' в поле $H = 4$ Э для размагниченного состояния поликристаллов $\text{EuBaCo}_2\text{O}_{5.5}$ (а), $\text{EuBaCo}_{1.92}\text{O}_{5.40}$ (б), $\text{EuBaCo}_{1.90}\text{O}_{5.36}$ (в) и монокристалла $\text{EuBaCo}_{1.90}\text{O}_{5.36}$ (г)

пакета PowderCell 2.3 [20]. Все образцы обладают орторомбической структурой (пространственная группа Pmm , № 47). Магнитные исследования проведены в центре коллективного пользования ИФМ УрО РАН на магнитометре MPMS-5XL (QUANTUM DESIGN). Дифференциальная восприимчивость χ' измерялась в температурном интервале 2–300 К с частотой переменного магнитного поля $f = 80$ Гц и амплитудным значением $H = 4$ Э.

3. ТЕМПЕРАТУРНЫЕ ЗАВИСИМОСТИ ДИФФЕРЕНЦИАЛЬНОЙ ВОСПРИИМЧИВОСТИ

На рис. 1 представлены температурные зависимости дифференциальной восприимчивости $\chi'(T)$ для размагниченного состояния поликристаллов $\text{EuBaCo}_2\text{O}_{5.5}$, $\text{EuBaCo}_{1.92}\text{O}_{5.40}$, $\text{EuBaCo}_{1.90}\text{O}_{5.36}$ и монокристалла $\text{EuBaCo}_{1.90}\text{O}_{5.36}$.

Видно, что в поликристаллах с разным числом вакансий положение максимума χ' , по которому обычно оценивают значение температуры Кюри ФМ-составляющей намагниченности, находится в узком интервале $T_C = 251$ – 257 К. Отрицательное значение асимптотической температуры Кюри T_a и гиперболический вид температурной зависимости обратной восприимчивости $1/\chi$ в парамагнитной области температур указывают на феримагнитное упорядочение магнитных моментов ионов Co^{3+} [12, 14]. Слабое различие значений T_C и намагниченности $M \sim \chi'(H)H$ в поликристаллах $\text{EuBaCo}_{2-x}\text{O}_{5.5-\delta}$ может быть связано с близким числом ФМ-пар ионов Co^{3+} IS–O–HS в малых магнитных полях в этой области температур.

Представляет интерес сравнить значения T_C и χ' для поликристалла и монокристалла одинакового состава $\text{EuBaCo}_{1.90}\text{O}_{5.36}$. На рис. 1 видно, что монокристалл имеет более низкое значение χ' вблизи $T_C = 242$ К. При этом температурная область при-

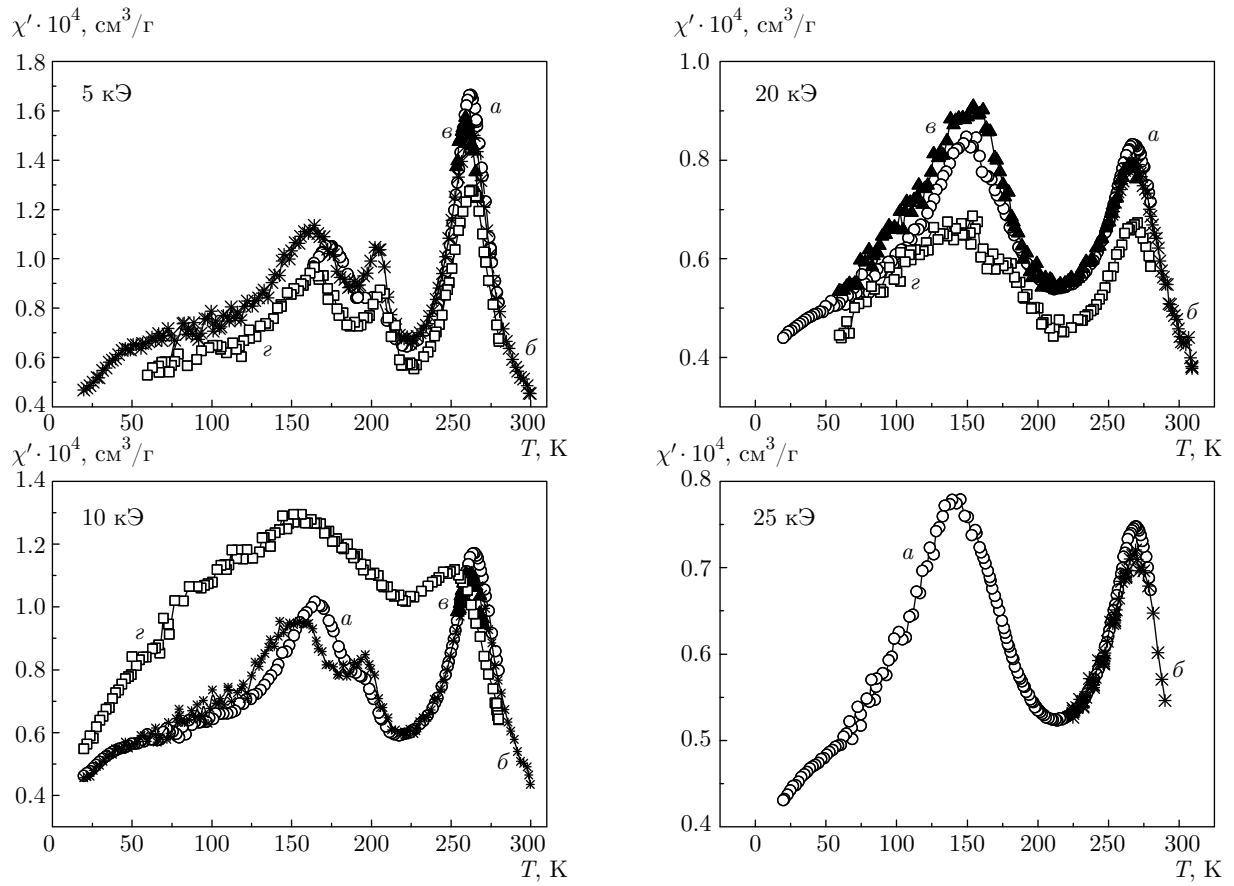


Рис. 2. Температурные зависимости магнитной восприимчивости χ' для поликристаллов EuBaCo₂O_{5.5} (a), EuBaCo_{1.92}O_{5.40} (b), EuBaCo_{1.90}O_{5.36} (c) и монокристалла EuBaCo_{1.90}O_{5.36} (d), охлажденных в полях $H = 5, 10, 20, 25$ кЭ (режим FC)

существия ФМ-составляющей намагниченности в монокристалле более широкая по сравнению с поликристаллами [16]. Эти образцы имеют одинаковое число ионов Co³⁺ и структурных вакансий, поэтому причиной наблюдаемых различий их магнитных свойств может быть направление магнитных моментов. По-видимому, спины ионов Co³⁺ лежат в плоскости *ab* под определенным углом к осям *a* и *b*. В работе [21] показано, что намагниченность монокристалла GdBaCo₂O_{5.5} в поле $H = 1$ кЭ для направления $\mathbf{H} \parallel \mathbf{b}$ существенно меньше, чем для направления $\mathbf{H} \parallel \mathbf{a}$. Малое значение намагниченности в монокристалле EuBaCo_{1.90}O_{5.36} по сравнению с поликристаллами может быть связано с тем, что угол между осью *b* и направлением спинов меньше соответствующего угла по отношению к оси *a*. Симметрия кристаллической решетки не исключает возможности неколлинеарного упорядочения магнитных моментов [9, 21, 22].

При охлаждении образцов в магнитном поле (FC) вид зависимостей $\chi'(T)$ существенно изменяется. На рис. 2 представлены температурные зависимости дифференциальной восприимчивости $\chi'(T)$ для поликристаллов EuBaCo_{2-x}O_{5.5-x} и монокристалла EuBaCo_{1.90}O_{5.36}, охлажденных в полях $H = 5, 10, 20, 25$ кЭ (режим FC). В области $T = 150\text{--}180$ К появляется второй максимум χ' , интенсивность которого возрастает при увеличении приложенного поля по сравнению с величиной χ' вблизи T_C . Наблюданное поведение $\chi'(T)$ указывает на появление ФМ-составляющей намагниченности при более низких температурах по сравнению с режимом ZFC (см. рис. 1). Увеличение поля FC приводит к небольшому смещению максимума χ' в области $T \approx 250$ К в сторону более высоких температур.

При увеличении числа вакансий в кобальтовых подрешетках магнитное поле влияет на величину χ' вблизи T_C . В таблице представлены значения диф-

Таблица. Значения χ' при T_C для поликристаллов и монокристалла $\text{EuBaCo}_{2-x}\text{O}_{5.5-\delta}$ в различных магнитных полях

Состав	$\chi' \cdot 10^6, \text{ см}^3/\text{г}$	
	$H = 5 \text{ кЭ}$	$H = 20 \text{ кЭ}$
$\text{EuBaCo}_{2.0}\text{O}_{5.50}$	117	82
$\text{EuBaCo}_{1.92}\text{O}_{5.40}$	150	78
$\text{EuBaCo}_{1.90}\text{O}_{5.36}$	170	75
$\text{EuBaCo}_{1.90}\text{O}_{5.36}$, монокристалл	127	67

ференциальной восприимчивости при T_C для поликристаллов и монокристалла $\text{EuBaCo}_{2-x}\text{O}_{5.5-\delta}$. Из таблицы видно, что χ' в поле $H = 5 \text{ кЭ}$ увеличивается, а в поле $H = 20 \text{ кЭ}$ незначительно уменьшается при увеличении числа вакансий Со. Это указывает на нелинейную зависимость намагниченности от H и на присутствие ФМ-взаимодействий.

Смещение максимального значения χ' в области $T \approx 250 \text{ К}$ может быть связано с сохранением ближнего магнитного порядка при увеличении H (см. рис. 2). Уменьшение максимального значения $\chi'(H)$ при увеличении магнитного поля в режиме FC вблизи T_C может быть вызвано как изменением числа обменносвязанных ФМ- и АФМ-пар за счет спиновых переходов ионов Co^{3+} , так и неколлинеарным ферримагнитным упорядочением и изменением проекции магнитных моментов на направление приложенного поля. Противоположная тенденция смещения максимума χ' наблюдается в области $T \approx 150\text{--}170 \text{ К}$. Увеличение поля приводит к понижению этой температуры. Максимальные значения восприимчивости уменьшаются при увеличении H подобно изменению $\chi'(H)$ вблизи $T \approx 250 \text{ К}$. Это указывает на то, что область присутствия ФМ-взаимодействий расширяется под действием внешнего поля. Основными причинами наблюдаемого поведения $\chi'(T)$ могут быть изменения магнитного порядка из-за поворота направления магнитного момента в ФМ- и АФМ-подрешетках и спиновые переходы ионов Co^{3+} под действием магнитного поля.

Сравнение зависимостей $\chi'(T)$ для поликристалла и монокристалла одинакового состава $\text{EuBaCo}_{1.90}\text{O}_{5.36}$ показало, что направление внешнего магнитного поля в режиме FC влияет на магнитное состояние кобальтитов. В монокристалле, в котором поле $H = 10 \text{ кЭ}$ направлено вдоль

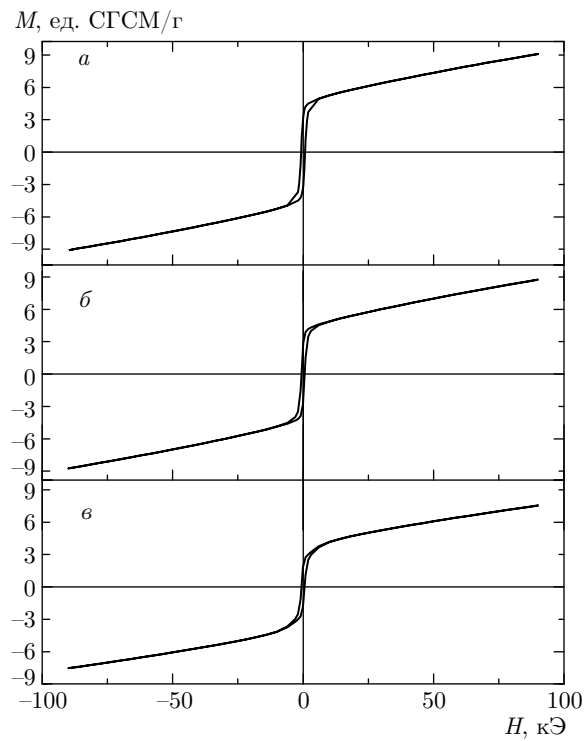


Рис. 3. Полевые зависимости намагниченности (ZFC) при $T = 210 \text{ К}$ для поликристаллов $\text{EuBaCo}_{2.0}\text{O}_{5.50}$ (a), $\text{EuBaCo}_{1.90}\text{O}_{5.36}$ (b) и монокристалла $\text{EuBaCo}_{1.90}\text{O}_{5.36}$ (c)

выделенного направления, максимум намагниченности $M \sim \chi' H$ вблизи $T = 150 \text{ К}$ смещается в сторону низких температур. При этом в области T_C намагниченность значительно превышает соответствующие значения $M(T)$ для поликристалла. Можно предположить, что направление спинов ионов Co^{3+} расположено в плоскости ab . Это обеспечивает большую величину проекции магнитного момента на направление поля. Подтверждением изменения магнитного упорядочения в области $T < T_C$ могут служить полевые зависимости намагниченности.

4. ПОЛЕВЫЕ ЗАВИСИМОСТИ НАМАГНИЧЕННОСТИ

Полевые зависимости намагниченности вблизи T_C имеют вид, характерный для ферро- или ферримагнетиков. На рис. 3 представлены петли гистерезиса в режиме ZFC при $T = 210 \text{ К}$ для поликристаллов $\text{EuBaCo}_{2.0}\text{O}_{5.50}$, $\text{EuBaCo}_{1.90}\text{O}_{5.36}$ и монокристалла $\text{EuBaCo}_{1.90}\text{O}_{5.36}$. В полях $H < 10 \text{ кЭ}$ процесс намагничивания происходит за счет смещения

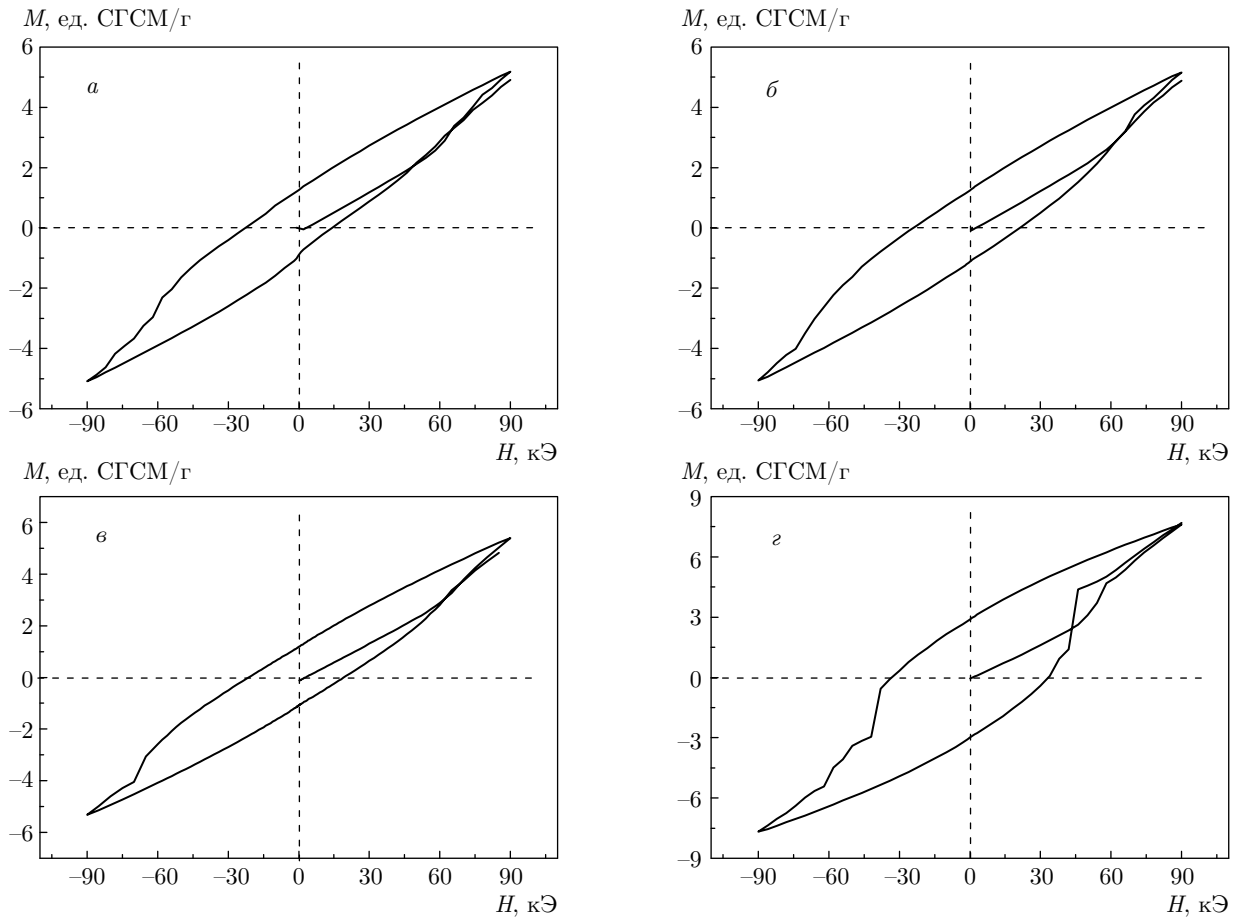


Рис. 4. Полевые зависимости намагниченности (ZFC) поликристаллов $\text{EuBaCo}_2\text{O}_{5.5}$ (а), $\text{EuBaCo}_{1.92}\text{O}_{5.40}$ (б), $\text{EuBaCo}_{1.90}\text{O}_{5.36}$ (в) и монокристалла $\text{EuBaCo}_{1.90}\text{O}_{5.36}$ (г) при $T = 2$ К

доменных границ и поворота вектора намагничивания. В области $H = 10$ – 90 кЭ наблюдается парапроцесс. Следует отметить, что намагниченность не достигает насыщения даже в поле $H = 90$ кЭ. На рис. 3 видно, что наличие структурных дефектов и направление внешнего поля не оказывают сильного влияния на вид зависимости $M(H)$. Качественно подобные петли гистерезиса намагниченности наблюдались при $T = 170$ К, однако парапроцесс начинался в более высоких полях $H \geq 50$ кЭ.

При низких температурах вид петель гистерезиса намагниченности в режиме ZFC существенно изменяется. На рис. 4 представлены зависимости $M(H)$ при $T = 2$ К для поликристаллов и монокристалла $\text{EuBaCo}_{2-x}\text{O}_{5.5-\delta}$. Отметим особенности этих зависимостей. Петли гистерезиса являются широкими и сдвинутыми относительно $H = 0$. Гистерезис $M(H)$ наблюдается даже при $H = 90$ кЭ. В полях $H > 45$ кЭ значения на основной кривой намаг-

нченности ниже соответствующих значений $M(H)$ при изменении поля $-H \rightarrow 0 \rightarrow H$. Для полного цикла изменения магнитного поля, $0 \rightarrow H \rightarrow 0 \rightarrow -H \rightarrow 0 \rightarrow H$ значения намагниченности в поликристаллах различаются. Это указывает на метастабильное состояние магнитной системы в сильных магнитных полях при низких температурах.

Особенности петель гистерезиса намагниченности, не характерные для коллинеарных ферро- и ферримагнетиков, проявляются также в режиме FC. На рис. 5 и 6 представлены полевые зависимости намагниченности для образцов, охлажденных в магнитном поле $H = 90$ кЭ до температур $T = 100$ К и $T = 30$ К. Видно, что ширина петли при $H > 50$ кЭ превосходит ширину петли $M(H)$ в меньших полях. При понижении температуры эта разница увеличивается независимо от количества структурных дефектов и направления магнитного поля относительно кристаллографических осей.

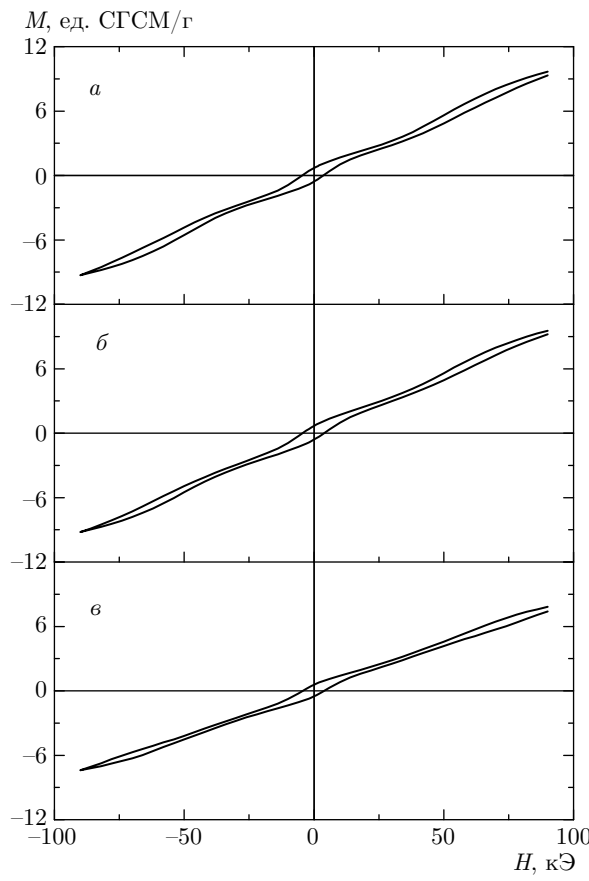


Рис. 5. Полевые зависимости намагниченности (FC) при $T = 100$ К для поликристаллов $\text{EuBaCo}_2\text{O}_{5.50}$ (α), $\text{EuBaCo}_{1.90}\text{O}_{5.36}$ (β) и монокристалла $\text{EuBaCo}_{1.90}\text{O}_{5.36}$ (γ)

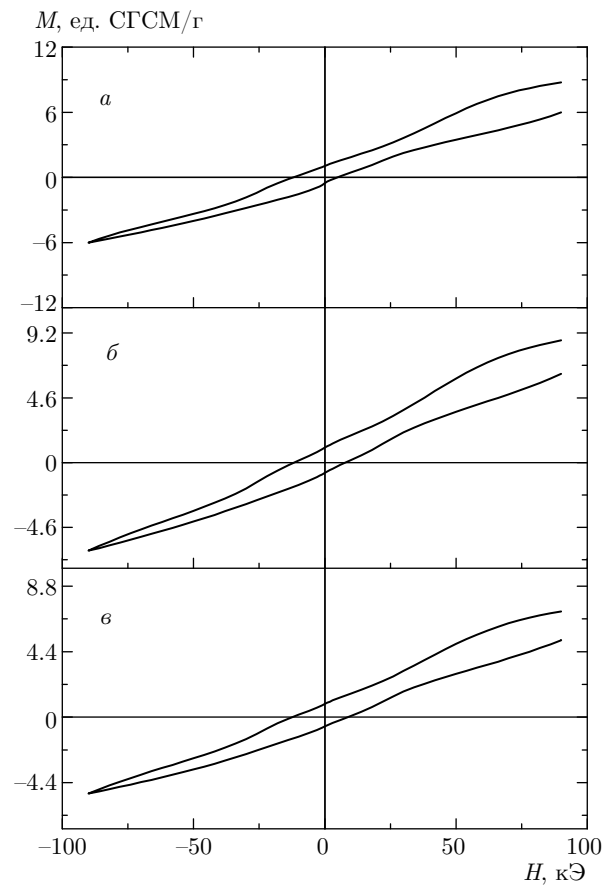


Рис. 6. Полевые зависимости намагниченности (FC) при $T = 30$ К для поликристаллов $\text{EuBaCo}_2\text{O}_{5.50}$ (α), $\text{EuBaCo}_{1.90}\text{O}_{5.36}$ (β) и монокристалла $\text{EuBaCo}_{1.90}\text{O}_{5.36}$ (γ)

Наиболее ярко особенности процессов намагничивания проявляются при 2 К. На рис. 7 представлены петли гистерезиса $M(H)$ в режиме FC при $H = 90$ кЭ для поликристаллов и монокристалла. Во всех образцах наблюдается сдвиг петли гистерезиса. При этом наиболее сильно он проявляется в стехиометрическом составе. В поле $H = 90$ кЭ намагниченности в начале цикла и в его конце сильно различаются. На рис. 8 для сравнения представлены температурные зависимости намагниченности наших образцов, охлажденных до $T = 2$ К в режимах без поля (ZFC) и в магнитном поле $H = 90$ кЭ (FC). Во всех образцах максимум намагниченности вблизи T_C отсутствует. Максимум $M(T)$ в поликристаллах расположен вблизи $T = 150$ К, а в монокристалле — при более низкой температуре $T \approx 123$ К. При этом в области $T = 200$ –300 К намагниченность всех образцов почти одинакова.

При понижении температуры наблюдается уменьшение значений намагниченности, что ха-

рактерно для ферримагнетиков с разной температурной зависимостью намагниченности магнитных подрешеток [13]. Отметим, что во всех поликристаллах с разным числом структурных дефектов значения намагниченности для режимов ZFC и FC близки. Это может указывать на одинаковое число обменносвязанных магнитных моментов. В монокристалле соответствующие значения $M(T)$ в температурной области $T < 200$ К заметно выше, что может быть связано с направлением внешнего поля относительно кристаллографических осей и магнитных моментов ионов Co.

5. ОБСУЖДЕНИЕ

В работах по слоистым кобальтидам $\text{LnBaCo}_2\text{O}_{5.5\pm\delta}$ на основе температурных зависимостей дифференциальной восприимчивости χ' и намагниченности $M(H)$ в магнитных полях $H < 40$ кЭ ряд авторов полагает, что их магнитная

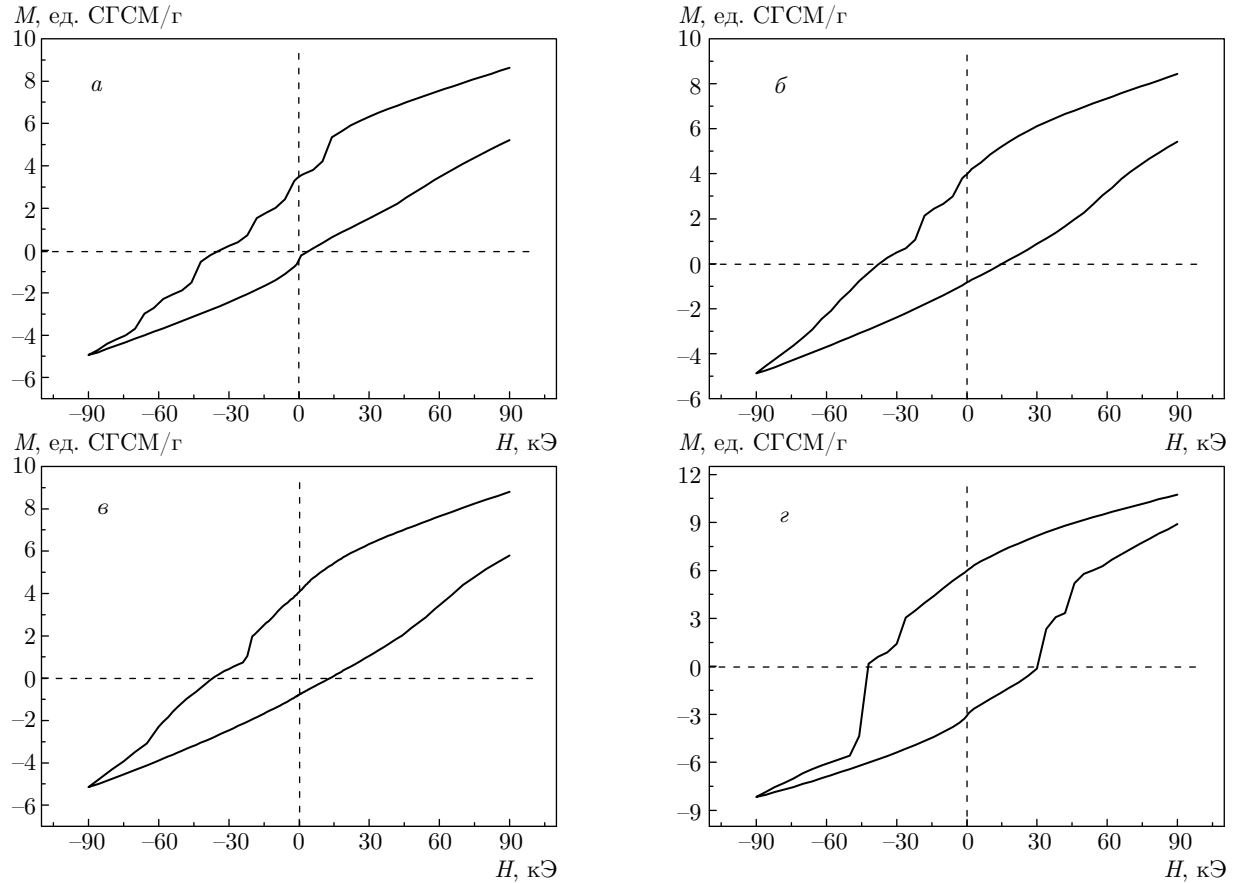


Рис. 7. Полевые зависимости намагниченности (FC) при $T = 2$ К для поликристаллов $\text{EuBaCo}_2\text{O}_{5.5}$ (*a*), $\text{EuBaCo}_{1.92}\text{O}_{5.40}$ (*b*), $\text{EuBaCo}_{1.90}\text{O}_{5.36}$ (*c*) и монокристалла $\text{EuBaCo}_{1.90}\text{O}_{5.36}$ (*z*)

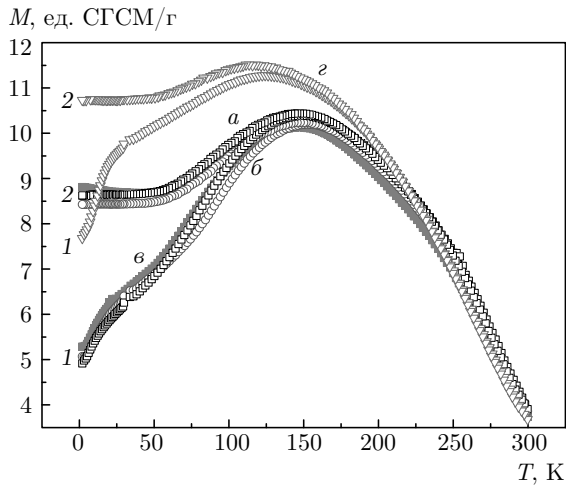


Рис. 8. (В цвете онлайн) Температурные зависимости намагниченности в магнитном поле $H = 90$ кЭ, снятые в режимах ZFC (1) и FC (2) для поликристаллов $\text{EuBaCo}_2\text{O}_{5.5}$ (*a*), $\text{EuBaCo}_{1.92}\text{O}_{5.40}$ (*b*), $\text{EuBaCo}_{1.90}\text{O}_{5.36}$ (*c*) и монокристалла $\text{EuBaCo}_{1.90}\text{O}_{5.36}$ (*z*)

система в области $T < 180$ К является антиферромагнитной. В интервале $T = 180$ –300 К появляются ФМ-поляроны, внедренные в АФМ-матрицу, что приводит к резкому увеличению намагниченности. В наших поликристаллах магнитный порядок определяется обменными взаимодействиями между ионами Co^{3+} . Парамагнитные ионы Eu^{3+} при $T = 0$ К не имеют магнитного момента, однако при повышении температуры за счет тепловых возбуждений Ван Флека магнитный момент Eu^{3+} при $T \leq 200$ К нелинейно возрастает до $\mu_{\text{eff}} = 3.15\mu_B$ [23]. Представленные нами экспериментальные данные по магнитным свойствам поликристаллов $\text{EuBaCo}_{2-x}\text{O}_{5.5-\delta}$ указывают на присутствие АФМ- и ФМ-взаимодействий ионов Co^{3+} . Данные по температурным зависимостям парамагнитной восприимчивости и отрицательные значения асимптотической температуры Кюри T_a подтверждают ферримагнитное упорядочение магнитных моментов ионов Co^{3+} [12, 24]. В температурной области

$T = 100\text{--}240\text{ K}$ в слабых магнитных полях поликристаллы имеют петли гистерезиса намагниченности, характерные для обычных ферримагнетиков, содержащих взаимодействующие между собой ФМ- и АФМ-подрешетки (см. рис. 3 и 5). ФМ- и АФМ-взаимодействия между ближайшими магнитными моментами связаны с присутствием всех трех спиновых состояний в области $T = 2\text{--}300\text{ K}$. Соотношения числа IS- и HS-состояний ионов Co^{3+} при понижении температуры изменяются, что приводит к изменению вкладов обменных АФМ- и ФМ-взаимодействий. Эта особенность отличает слоистые кобальтиты от обычных ферримагнетиков, в которых число магнитных ионов и их магнитный момент не зависят от температуры.

Представленные в данной работе и в работе [24] экспериментальные данные свидетельствуют о сильном влиянии магнитного поля на магнитный порядок при низких температурах. Наблюдаемые магнитные свойства кобальтитов $\text{EuBaCo}_{2-x}\text{O}_{5.5-\delta}$ при низких температурах в сильных магнитных полях можно объяснить состоянием миктомагнетизма [25–27]. Термин «миктомагнетизм» был введен Беком [28, 29] для магнетиков с различными видами (ФМ и АФМ) обменных взаимодействий. Миктомагнетики представляют собой систему взаимодействующих магнитных кластеров и отдельных спинов. В них существует фазовый переход из ферримагнитного в парамагнитное состояние. Магнитные кластеры присутствуют также в кластерных стеклах, поэтому в миктомагнетиках и кластерных стеклах наблюдается ряд подобных магнитных свойств, например, смещение петли гистерезиса намагниченности, для которого необходимо присутствие ФМ-кластеров, а не отдельных спинов в спин-стекольном состоянии. Внутри кластеров магнитные моменты ионов жестко связаны между собой близкодействующим обменным взаимодействием. Для состояния спинового стекла характерно стабильное направление спинов со случайной ориентацией ниже температуры замораживания T_f [30].

В миктомагнетиках и кластерных стеклах при понижении температуры возникает сложная магнитная структура с замороженным направлением магнитного момента кластеров, а не отдельных спинов. Магнитные системы, содержащие АФМ- и ФМ-кластеры, при высоких температурах имеют малую величину магнитной анизотропии и обладают свойствами обычных ферримагнетиков. При охлаждении образцов анизотропия АФМ-кластеров сильно возрастает. Необходимы очень сильные магнитные поля, чтобы намагнитить микрообласти, по-

этому в кластерном стекле спиновые ориентационные переходы при низких температурах не наблюдаются [26].

При понижении температуры в слоистых кобальтитах увеличивается вклад АФМ-взаимодействий за счет спиновых переходов $\text{HS} \rightarrow \text{IS}$ ионов Co^{3+} и изменения числа АФМ-пар. Большая разница значений намагниченности при $T = 2\text{ K}$, полученная в режимах ZFC и FC в поле $H = 90\text{ kE}$, может быть связана с резким ростом величины обменной анизотропии АФМ-части образцов $\text{EuBaCo}_{2-x}\text{O}_{5.5-\delta}$ при низких температурах. Это свойство характерно также для кластерного стекла. Отметим, что состояния миктомагнетизма и кластерного стекла имеют ряд подобных магнитных особенностей: большое различие значений $M(\text{ZFC})$ и $M(\text{FC})$ при низких температурах в сильных магнитных полях, сдвиг петель гистерезиса намагниченности, сохранение гистерезисных явлений намагниченности и отсутствие насыщения $M(H)$ даже в сильных полях.

Необратимые изменения намагниченности при полном цикле перемагничивания указывают на метастабильное состояние и фрустрацию обменных связей. Состояния миктомагнетизма и кластерного стекла имеют также ряд различий. В миктомагнетиках ниже температуры фазового перехода T_C (ферримагнитный порядок–парамагнетизм) ФМ- и АФМ-подрешетки взаимодействуют друг с другом. Такие соединения имеют полевые и температурные зависимости намагниченности, типичные для обычных ферримагнетиков. Состояние миктомагнетизма в ферримагнетиках реализуется при низких температурах в сильных магнитных полях. В миктомагнетиках ФМ-подрешетки (кластеры) под действием магнитного поля перестраиваются из-за сильного роста магнитной анизотропии. Этот рост приводит к появлению одноосной анизотропии намагниченности [31].

Одноосная магнитная анизотропия обнаружена как в монокристаллах, так и в поликристаллах $\text{EuBaCo}_{2-x}\text{O}_{5.5-\delta}$ [32]. Одноосная магнитокристаллическая анизотропия стремится установить намагниченность образца по всему объему только в направлении магнитного поля, приложенного при охлаждении, см. стр. 9 и 99 в работе [26]. Большая энергия анизотропии АФМ-упорядоченных магнитных моментов не приводит к изменению их направления. Изменяется направление ФМ-упорядоченных магнитных моментов, что проявляется в смещении петель гистерезиса влево. Для переориентации направления спинов требуются сильные магнитные поля.

Из-за сильного роста энергии магнитной анизотропии при низких температурах упорядоченные спины изменяют свое направление и подстраиваются под направление АФМ-упорядоченных магнитных моментов. В сильных магнитных полях в миктомагнетиках происходит ориентационный переход и создается сложная неколлинеарная магнитная структура. Экспериментальные температурные зависимости намагниченности поликристаллов $\text{EuBaCo}_{2-x}\text{O}_{5.5-\delta}$ подтверждают перестройку магнитного порядка. В кластерных стеклах ориентационный переход отсутствует, так как ниже T_f все спины заморожены.

В стехиометрических составах $\text{LnBaCo}_2\text{O}_{5.5}$ магнитные свойства в области $T = 180\text{--}260\text{ K}$ объясняли присутствием ФМ-кластеров в АФМ-матрице, а ниже $T = 180\text{ K}$ — АФМ-упорядочением ионов Co^{3+} [6, 8, 9, 33]. Однако в слоистых кобальтитах за счет отклонений от стехиометрического состава или легирования ниже этой температуры наблюдали петли гистерезиса намагниченности, что характерно для ФМ-компоненты $M(H)$. Например, в $\text{EuBaCo}_{2-x}\text{A}_x\text{O}_{5.5-\delta}$ ($\text{A} = \text{Zn}, \text{Cu}, \text{Mn}; x < 0.15$) петли гистерезиса $M(H)$ в полях $H = 3\text{--}7\text{ kE}$ ниже $T = 180\text{ K}$ имели нелинейный вид, что указывает на сохранение ФМ-кластеров до более низких температур [34–39]. Следует отметить, что температурные зависимости намагниченности легированных слоистых кобальтитов, снятые в режиме CHUF, имеют вид, подобный зависимостям $M(T)$ для наших поликристаллов $\text{EuBaCo}_{2-x}\text{O}_{5.5-\delta}$. Это указывает на необратимый характер процессов намагничивания.

Магнитные свойства ниже $T = 240\text{--}260\text{ K}$ в легированных кобальтитах со структурными искажениями часто объясняют состоянием кластерного стекла. В отличие от спинового стекла, в кластерном стекле в магнитном поле замораживается направление не только отдельных спинов, но и ФМ-кластеров. Состояние кластерного стекла типично для концентрированных сплавов 3d-переходных элементов и благородных металлов Au, Ag. Для них характерны максимум динамической восприимчивости вблизи температуры замерзания и сдвиг положения T_f при изменении частоты переменного поля. Однако в наших образцах и в работах других авторов по магнитным свойствам кобальтитов $\text{LnBaCo}_{2-x}\text{A}_x\text{O}_{5.5-\delta}$ сдвиг положения максимума $\chi'(T)$ не наблюдается. Ниже T_f направление магнитных моментов ФМ-кластеров и отдельных спинов является замороженным и не изменяется при понижении температуры. При этом магнитные моменты в кластерах и в матрице не взаимодействуют

и друг с другом. Поэтому в кластерных стеклах отсутствует дальний магнитный порядок. Ниже T_f система переходит из параметрического состояния в состояние кластерного стекла.

Состояние кластерного стекла наблюдали в магнитных полупроводниках со структурой перовскита: в легированных манганитах $\text{La}_{1-x}\text{A}_x\text{MnO}_3$ и кобальтитах $\text{La}_{1-x}\text{A}_x\text{CoO}_3$ ($x = 0.2\text{--}0.5$). Отметим, что в этих перовскитах, так же как и в слоистых кобальтитах, при легировании появляются 3d-ионы Mn и Co с другой валентностью и, соответственно, с другим магнитным моментом. Этот фактор влияет на вид обменных взаимодействий и их величину. В манганитах при понижении температуры магнитный момент ионов Mn остается постоянным, а в кобальтитах магнитный момент ионов Co^{3+} изменяется аналогично LaCoO_3 [3].

В работе [40] представлена магнитная фазовая диаграмма для легированной системы $\text{La}_{1-x}\text{Sr}_x\text{CoO}_3$ ($0 < x < 0.5$). Показано, что в составах с $x = 0.18\text{--}0.5$ в области $T = 100\text{--}250\text{ K}$ реализуется состояние кластерного стекла. В них наблюдается большое различие между значениями $M(\text{FC})$ и $M(\text{ZFC})$. Дальний магнитный порядок в $\text{La}_{1-x}\text{Sr}_x\text{CoO}_3$ отсутствует. Спин-стекольное и спин-кластерное состояния в $\text{La}_{1-x}\text{Sr}_x\text{CoO}_3$ объясняют фruстрацией конкурирующих АФМ- и ФМ-взаимодействий между Co^{3+} и Co^{4+} .

В наших нестехиометрических поликристаллах $\text{EuBaCo}_{2-x}\text{O}_{5.5-\delta}$ валентность ионов кобальта — Co^{3+} , но изменяется их спиновое состояние, что приводит при понижении температуры к изменению соотношения ФМ- и АФМ-вкладов в полную величину обменных взаимодействий. Это различие может влиять на реализацию состояний кластерного стекла или миктомагнетизма в манганитах и кобальтитах, которые при температуре ниже 360 K имеют полупроводниковый характер проводимости [1, 6].

Обменное взаимодействие осуществляется за счет механизма сверхобмена Гуденафа между ближайшими спинами Co—O—Co и зависит от расстояния и углов связей. Наличие структурных дефектов приводит к нарушению обменных связей и изменению соотношения АФМ- и ФМ-вкладов. Следует отметить, что поликристалл $\text{EuBaCo}_2\text{O}_{5.5}$ не имеет структурных нарушений, однако показывает качественно подобные температурные зависимости $M(T)$, снятые в режиме CHUF (см. рис. 8). В этом составе причиной реализации состояния миктомагнетизма при низких температурах может являться присутствие LS-состояний ионов Co^{3+} . Немагнитные ионы Co^{3+} нарушают обменные связи между

ближайшими спинами и действуют как структурные дефекты. Известно, что при $T = 2$ К четвертая часть от общего числа ионов Co^{3+} находится в октаэдрическом окружении в немагнитном LS-состоянии [41, 42].

В кобальтидах на спиновое состояние ионов Co^{3+} оказывают влияние не только температура и объем кристаллической решетки, но и величина магнитного поля. В работах [43, 44] показано, что в полях $H = 10, 20, 33$ кЭ монокристалл LaCoO_3 в области $T = 130\text{--}250$ К имеет линейную температурную зависимость обратной восприимчивости $1/\chi$, следовательно, выполняется закон Кюри–Вейсса с асимптотической температурой $T_a = -250$ К. В области $T = 80\text{--}100$ К наблюдается максимум намагниченности $M(T)$. При этом значения восприимчивости не зависят от величины H , что указывает на стабильное спиновое состояние ионов Co^{3+} . В области $T = 30\text{--}120$ К обнаружен переход из диамагнитного в парамагнитное состояние. При низких температурах $T < 25$ К увеличение значений χ и их зависимость от магнитного поля связаны с изменением спинового состояния ионов Со. Данные по неупругому нейтронному рассеянию указывают на то, что в LaCoO_3 в сильных магнитных полях вместо статических АФМ- и ФМ-порядков устанавливается динамическое упорядочение с корреляциями во всех направлениях [44]. В области $T = 75\text{--}100$ К в полях $H = 10\text{--}33$ кЭ наблюдался максимум восприимчивости $\chi = M/H$. В слоистых кобальтидах $\text{EuBaCo}_{2-x}\text{O}_{5.5-\delta}$ в поле $H = 90$ кЭ также наблюдался широкий максимум намагниченности вблизи $T = 120\text{--}150$ К, который мы связываем со спиновыми переходами $\text{LS} \rightarrow \text{IS} \rightarrow \text{HS}$ и изменением соотношения АФМ- и ФМ-взаимодействий.

На основе магнитных измерений мы полагаем, что в исследованных кобальтидах $\text{EuBaCo}_{2-x}\text{O}_{5.5-\delta}$ при низких температурах в сильных магнитных полях ($H > 50$ кЭ) реализуется состояние миктомагнетизма. В слабых магнитных полях эти кобальтиды проявляют свойства обычных ферримагнетиков, в которых вблизи $T = 240\text{--}250$ К происходит магнитный переход из ферримагнитного в парамагнитное состояние. Отметим, что увеличение структурных дефектов в $\text{EuBaCo}_{2-x}\text{O}_{5.5-\delta}$ приводит к сохранению АФМ-взаимодействий IS–O–IS и HS–O–HS ионов Co^{3+} до более высоких температур, когда $T_N > T_C$ [12]. Ранее мы указывали на различие свойств миктомагнетизма и кластерного стекла. В кластерных стеклах при T_f происходит переход беспорядок–беспорядок с замороженными направлениями кластеров и отдельных спинов. В микто-

магнетиках при низких температурах под действием сильного магнитного поля направление спинов в кластерах может изменяться.

Существенным признаком миктомагнетизма является большое различие значений намагниченности $M(\text{ZFC})$ и $M(\text{FC})$ в полях $H = 90$ кЭ. Это различие возникает из-за односторонней магнитной анизотропии, которая стремится установить намагниченность по всему объему при охлаждении в направлении магнитного поля. Под действием внешних факторов (температура, сильное магнитное поле) происходит спиновый ориентационный переход [26] из-за изменения направления легкой оси намагниченности ФМ-упорядоченных подрешеток ионов Co^{3+} . В кластерных стеклах ориентационный переход ниже T_f отсутствует, так как направления магнитных моментов в ФМ-кластерах и отдельных спинов являются замороженными и они не взаимодействуют друг с другом. Отметим, что в сильных магнитных полях при низких температурах в легированных перовскитах $\text{La}_{1-x}\text{A}_x\text{CoO}_3$ реализуется состояние кластерного стекла, а в слоистых кобальтидах $\text{EuBaCo}_{2-x}\text{O}_{5.5-\delta}$ — миктомагнетизм. Основной причиной этого различия является то, что в LaCoO_3 все ионы Co^{3+} при низких температурах $T < 90$ К имеют LS-состояние и, соответственно, система является диамагнитной. При повышении температуры и магнитного поля возникают IS- и HS-состояния, что может способствовать образованию кластеров в парамагнитной матрице. В слоистых кобальтидах при 2 К присутствуют все три спиновых состояния Co^{3+} (LS, IS, HS). Это приводит к наличию АФМ- и ФМ-взаимодействий и ферримагнетизму.

6. ВЫВОДЫ

Исследования магнитных свойств показали, что слоистые кобальтиды $\text{EuBaCo}_{2-x}\text{O}_{5.5-\delta}$, в которых все ионы кобальта находятся в трехвалентном состоянии, являются ферримагнетиками в температурной области $T < T_C$. Присутствие АФМ- и ФМ-взаимодействий связано с разными спиновыми состояниями ионов Co^{3+} ($S = 2, 1, 0$). С повышением температуры из-за спиновых переходов число ФМ- и АФМ-пар изменяется, что приводит к изменению их вклада в намагниченность образца. Подтверждением ферримагнитного упорядочения служат полевые и температурные зависимости $M(H)$ и $M(T)$. Выше T_C температурные зависимости обратной восприимчивости $1/\chi$ имеют нелинейный вид с выпуклостью от оси T и отрицательное значение асимптотической температуры Кюри, что также указывает на фер-

римагнитное упорядочение магнитных подрешеток [12]. При низких температурах ($T = 2$ К) и в сильных магнитных полях ($H = 90$ кЭ) они проявляют свойства миктомагнитного состояния.

В поликристаллических и в монокристаллическом $\text{EuBaCo}_{2-x}\text{O}_{5.5-\delta}$ наблюдается сдвиг петли гистерезиса и отсутствие насыщения намагниченности даже в поле $H = 90$ кЭ. Однонаправленная магнитная анизотропия приводит к большому различию значений $M(\text{ZFC})$ и $M(\text{FC})$ при $T = 2$ К. Температурные зависимости намагниченности, снятые в режиме CHUF в поле $H = 90$ кЭ, указывают на метастабильное магнитное состояние при низких температурах, когда магнитное поле стремится установить намагниченность образцов в направлении приложенного при охлаждении поля. В области $T = 20\text{--}30$ К наблюдается ориентационный магнитный переход, характерный для микромагнетиков.

Основными причинами миктомагнитного состояния слоистых кобальтитов $\text{EuBaCo}_{2-x}\text{O}_{5.5-\delta}$ являются изменение спинового состояния ионов Co^{3+} при понижении температуры и резкий рост магнитной анизотропии АФМ-упорядоченных пар Co^{3+} . В температурной области $T < 360$ К слоистые кобальтиты имеют полупроводниковый характер проводимости, поэтому изменение расстояний и углов связи $\text{Co}^{3+}\text{--O--Co}^{3+}$ влияет на величину обменных взаимодействий. Наличие структурных дефектов способствует проявлению миктомагнитного состояния при низких температурах. Близкие значения $M(T)$ для всех поликристаллов, включая стехиометрический состав $\text{EuBaCo}_2\text{O}_{5.5}$, указывают на то, что не только структурные дефекты, но и приключение немагнитных LS-ионов Co^{3+} влияют на обменные взаимодействия и способствуют проявлению миктомагнитного состояния при низких температурах в сильных магнитных полях. Для монокристалла $\text{EuBaCo}_{1.9}\text{O}_{5.36}$, в котором поле $H = 90$ кЭ направлено вдоль плоскости ab , более высокие значения $M(\text{ZFC})$ и $M(\text{FC})$ в поле, по сравнению со значениями в поликристаллах, могут быть связаны с тем, что спины в ФМ- и АФМ-подрешетках имеют направления, близкие к осям a и b , что способствует большей намагниченности в направлении приложенного поля.

Авторы признательны Н. Г. Бебенину за полезные обсуждения.

Работа выполнена в рамках государственного задания ФАНО России (тема «Спин» Г.р. № АААА-А18-118020290104-2) и при поддержке программы УрО РАН 18-10-2-3.

ЛИТЕРАТУРА

1. Д. Б. Гуденаф, *Магнетизм и химическая связь*, Металлургия, Москва (1966).
2. Р. Карлинг, *Магнетохимия*, Мир, Москва (1989).
3. М. А. Коротин, С. Ю. Ежов, И. В. Соловьев и др., Phys. Rev. B **54**, 5309 (1996).
4. Р. Р. Хайкес, Р. С. Миллер, и Р. Мазельский, Physica **30**, 1600 (1964).
5. А. К. Кунду, Е.-Л. Раутама, Ф. Булль и др., Phys. Rev. B **76**, 184432 (2007).
6. А. Майянь, С. Мартин, Д. Пельоэн и др., J. Sol. St. Chem. **142**, 247 (1999).
7. Я. Моритомо, Т. Акимото, М. Такео и др., Phys. Rev. B **61**, R13325 (2000).
8. С. Фронтера, Ж. Л. Гарсия-Муньоз, А. Ллобет и др., Phys. Rev. B **65**, 180405 (2002).
9. Б. Равеа, МД. М. Сейх, В. Пралонг и др., Bull. Mater. Sci. **32**, 305 (2009).
10. А. А. Таскин и Я. Андо, Phys. Rev. Lett. **95**, 176603 (2005).
11. А. А. Таскин, А. Н. Лавров, и Я. Андо, Phys. Rev. B **71**, 134414 (2005).
12. Т. И. Арбузова, С. В. Наумов, С. В. Телегин, ФТТ **60**, 80 (2018).
13. Я. Смит, Х. Вайн, *Ферриты*, Изд-во иностр. лит., Москва (1962).
14. Т. И. Арбузова, С. В. Телегин, С. В. Наумов и др., Sol. St. Phenom. **215**, 83 (2014).
15. Д. Д. Кхалиянин, Phys. Rev. B **72**, 134408 (2005).
16. Т. И. Арбузова, С. В. Наумов, С. В. Телегин, А. В. Королев, ЖЭТФ **153**, 800 (2018).
17. М. Р. Печини, US Patent No. 3330697 (1967).
18. С. В. Телегин, С. В. Наумов, О. Г. Резницких, Е. И. Патраков, ФТТ **57**, 2222 (2015).
19. С. В. Телегин, А. Ю. Зюев, С. В. Наумов и др., J. Chem. **2017**, ID 3057873 (2017).
20. В. Краус и Г. Нользе, J. Appl. Cryst. **9**, 301 (1996).
21. М. Сода, Я. Ясуи, Я. Кобаяши и др., J. Phys. Soc. Jpn. **75**, 104708 (2006).
22. А. А. Таскин, А. Н. Лавров, и Я. Андо, Phys. Rev. Lett. **90**, 227201 (2003).

- 23.** J. H. Van Vleck, *The Theory of Electric and Magnetic Susceptibilities*, Oxford Univ. Press (1952).
- 24.** Т. И. Арбузова, С. В. Наумов, С. В. Телегин, ФТТ **59**, 517 (2017).
- 25.** С. Тикадзуки, *Физика ферромагнетизма. Магнитные свойства вещества*, Мир, Москва (1983).
- 26.** С. Тикадзуки, *Физика ферромагнетизма. Магнитные характеристики и практические применения*, Мир, Москва (1987).
- 27.** Л. И. Королева, *Магнитные полупроводники*, Изд-во Физического факультета МГУ им. М. В. Ломоносова, Москва (2003).
- 28.** P. A. Beck, J. Less Common Met. **28**, 193 (1972).
- 29.** P. A. Beck, Met. Mat. Trans. B **2**, 2015 (1971).
- 30.** K. H. Fischer, Phys. Stat. Sol. (b) **130**, 13 (1985).
- 31.** W. H. Meiklejohn and C. P. Bean, Phys. Rev. **105**, 904 (1957).
- 32.** Н. И. Солин, С. В. Наумов, С. В. Телегин и др., Письма в ЖЭТФ **104**, 44 (2016).
- 33.** S. Roy, M. Khan, Y. Q. Guo et al., Phys. Rev. B **65**, 064437 (2002).
- 34.** B. Raveau, Ch. Simon, and V. Pralong, Sol. St. Comm. **139**, 301 (2006).
- 35.** E. P. Amaladass, N. Thirumurugan, A. T. Satya et al., J. Phys.: Condens. Matter **25**, 436001 (2013).
- 36.** N. Thirumurugan, A. Bharathi, and A. Arulraj, Mat. Res. Bull. **47**, 941 (2012).
- 37.** T. Sarkar, V. Pralong, and B. Raveau, Phys. Rev. B **83**, 214428 (2011).
- 38.** M. Baran, V. I. Gatalskaya, R. Szymczak et al., J. Phys.: Condens. Matter **15**, 8853 (2003).
- 39.** MD. M. Seikh, A. K. Kundu, V. Caignaert et al., J. Appl. Phys. **109**, 093916 (2011).
- 40.** M. Itoh, I. Natori, S. Kubota, and K. Motoya, J. Phys. Soc. Jpn. **63**, 1486 (1994).
- 41.** H. Kubo, K. Zenmyo, M. Itoh et al., J. Magn. Magn. Mater. **272–276**, 581 (2004).
- 42.** M. Soda, Y. Yasui, T. Fujita et al., J. Phys. Soc. Jpn. **72**, 1729 (2003).
- 43.** M. J. R. Hoch, S. Nellutla, J. van Tol et al., Phys. Rev. B **79**, 214421 (2009).
- 44.** D. Phelan, D. Louca, S. Rosenkranz et al., Phys. Rev. Lett. **96**, 027201 (2006).